

## بررسی خواص ساختاری و الکترونی بلور CaS

**مرضیه میرفندرسکی، هادی اکبرزاده و علی مختاری**

دانشکده فیزیک، دانشگاه صنعتی اصفهان

(دریافت مقاله: ۸۱/۳/۲۱؛ دریافت نسخه نهایی: ۸۱/۸/۱)

### چکیده

خصوص ساختاری و الکترونی بلور کلسیم سولفید با استفاده از روش FP-LAPW<sup>۱</sup> محاسبه شده است. برای انجام محاسبات از تقریب‌های چگالی موضعی (LDA) و شبیه تعمیم (GGA) برای جمله تبادلی همبستگی استفاده شده است. خواص ساختاری حالت زمینه برای فازهای اول (ساختار نمک طعام) و دوم (ساختار کلرید سوزیم) بررسی شد. مقادیر بدست آمده از جمله پارامتر تعادلی شبکه، مدول تراکمی، مشتق مدول تراکمی نسبت به فشار و فشار گذار، سازگاری خوبی با نتایج تجربی دارند. خواص الکترونی برای هر دو فاز مورد بررسی قرار گرفت. مقدار گاف انرژی محاسبه شده مانند محاسبات دیگران که بر نظریه تابعی چگالی استوار است کوچکتر از مقدار تجربی بدست آمد. این اختلاف ناشی از نادیده گرفتن ناپیوستگی در پتانسیل تبادلی همبستگی در محاسبات مبتنی بر نظریه تابعی چگالی است. انگل و وسکو پتانسیل تبادلی دقیق را برای چند اتم، با استفاده از مدل پتانسیل بهینه شده، بدست آوردن و سپس با استفاده از رابطه ویریال پتانسیل تبادلی همبستگی جدید EV-GGA<sup>۲</sup> را ارائه کردند. با به کار بردن پتانسیل تبادلی همبستگی جدید گاف انرژی بدست آمده به تجربه نزدیک تر شد. در نهایت در مورد امکان وجود فاز سوم (ساختار بلند روی) در این بلور تحقیق کردیم.

**واژه‌های کلیدی:** نظریه تابعی چگالی، CaS، FP-LAPW

### ۱. مقدمه

الکترونی بلور کلسیم سولفید بررسی شده است. این بلور در فشارهای معمولی در فاز B1 (ساختار نمک طعام) است که با افزایش فشار دستخوش تغییر فاز مرتبه اول به فاز B2 (ساختار سوزیم کلراید) می‌شود. این گذار فاز برای اولین بار در سال ۱۹۹۴ با آزمash پراش اشعه ایکس مشاهده شد [۲]. کاملترین مطالعه نظری بر روی این ترکیب در سال ۱۹۹۸ توسط شمیم بانو و همکارانش [۳] با روش بستگی قوی-اربیتال مافین تین خطی (TB-LMTO) و با تقریب چگالی موضعی (LDA) برای پتانسیل تبادلی همبستگی انجام شده است. البته در سال ۱۹۸۹ با روش LAPW<sup>۱</sup> و با تقریب LDA

در سالهای اخیر مطالعه خواص ساختاری و الکترونی سولفیدهای قلیایی خاکی بدلیل کاربردهای فراوانی که در صنعت دارند مورد توجه ویژه قرار گرفته است. از جمله این کاربردها می‌توان بکارگیری آنها در ساخت صفحه تلویزیون، لوله اشعه کاتدی، آشکارسازهای اشعه مادون سرخ و مگنتو اپتیکها را نام برد [۱]. علیرغم کاربرد روبه افزایش این مواد و مطالعات پراکنده انجام شده بر روی آنها هنوز ابهاماتی در مورد خواص ساختاری و الکترونی آنها وجود دارد که یک بررسی همه جانبه را طلب می‌کند. در کار حاضر خواص ساختاری و

1. Full Potential-Linearized Augmented Plane Wave  
2. Engel and Vosko's Generalized Gradient Approximation

آن روی مرز کره مافین تین بدست می‌آیند. در این روش پتانسیل و چگالی بار بسطی به شکل زیر دارند:

$$V(\vec{r}) = \begin{cases} \sum_{lm} V_{lm}(r) Y_{lm}(\hat{r}) & \text{درون کره} \\ \sum_k V_k e^{i\vec{k} \cdot \vec{r}} & \text{بیرون کره} \end{cases} \quad (3)$$

لازم به ذکر است که در معادلات تک ذره‌ای کوهن شم بدلیل نامشخص بودن جمله تبادلی همبستگی معمولاً یکی از تقریب‌های چگالی موضعی (LDA) و یا شیب تعییم یافته (GGA) اعمال می‌شود. در این محاسبات هر دو تقریب LDA و GGA به ترتیب طبق مراجع [۷] و [۸] بکار گرفته شدند. برای انجام محاسبات از برنامه رایانه‌ای وین ۹۷ که توسط بلاها و همکارانش نوشته شده است [۹] استفاده شد. شعاع کره‌های مافین تین Ca و S بترتیب ۲ و ۱/۹ بوهر انتخاب شدند. درون کره‌ها چگالی بار و پتانسیل بر حسب هارمونیکهای کروی تا  $= 1$  بسط داده شد. تعداد یک هزار نقطه K در تمام منطقه بریلوئن انتخاب شد. تعداد توابع پایه در ناحیه بین جایگاهی با مقادار  $R_{mt} \times K_{max} = 8$  محدود شد که در آن  $K_{max}$  بردار موج قطع می‌باشد ( $K_{max}$  توابع پایه ناحیه بین کرات را محدود می‌کند).

### ۳. نتایج

#### ۳.۱. خواص ساختاری

برای یافتن خواص ساختاری حالت پایه بلور انرژی یاخته بسیط به ازاء حجم‌های مختلف اطراف حجم تعادلی برای هر دو فاز محاسبه شد. انرژی‌های محاسبه شده را با معادله حالت مورنگون برآش داده و نمودار انرژی بر حسب حجم رسم شد (شکل ۱). با بکار بردن این معادله برای هر دو ساختار ثابت شبکه، مدول حجمی، مشتق مدول حجمی نسبت به فشار با دو تقریب LDA و GGA محاسبه شد که نتایج در جدول ۱ با داده‌های تجربی و نظری دیگران مقایسه شده است.

همان طور که در جدول ۱ دیده می‌شود ثابت شبکه‌ای که با روش FP-LAPW و با تقریب شیب تعییم یافته بدست آورده‌ایم به مقدار تجربه نزدیکتر است. با مقایسه ثابت شبکه محاسبه شده در دو تقریب چگالی موضعی و شیب تعییم یافته به نظر می‌رسد در تقریب چگالی موضعی یک فشار مثبت

[۴] و در سال ۱۹۹۱ با روش هارتی فوک [۵] محاسبات ساختار نواری بر روی ترکیب فوق انجام گرفته است. گاف انرژی در دو روش اول به مقدار قابل توجهی کمتر و در روش سوم بیشتر از مقدار تجربی بدست آمده است. گرچه در مورد منشأ این خطای نظرات یکسانی وجود ندارد لیکن در مورد روش‌های مبتنی بر نظریه تابعی چگالی عده زیادی علت این اختلاف را به تقریب چگالی موضعی نسبت می‌دهند. لذا برای رفع این شباهه نیاز است با تقریب‌های پیشرفته‌تر محاسبات را تکرار نمود. در کار حاضر محاسبات با روش FP-LAPW و با تقریب‌های LDA و شیب تعییم یافته GGA برای پتانسیل تبادلی همبستگی انجام شده است. در قسمت بعد در مورد روش محاسبه توضیحاتی ارائه شده است.

در محاسبات انجام شده ابتدا خواص ساختاری و الکترونی فازهای اول (ساختار نمک طعام) و دوم (ساختار کلرید سزیم) بررسی و با نتایج دیگران مقایسه شد. سپس به بحث در مورد علت تفاوت بین مقادیر گاف انرژی محاسبه شده با تجربه و روش اصلاح آن پرداختیم و در نهایت امکان وجود فاز سوم (ساختار بلند روی) را در این بلور بررسی کردیم.

## ۲. جزئیات محاسبه

محاسبات ما بر نظریه تابعی چگالی استوار است و از روش FP-LAPW برای حل معادلات تک ذره‌ای کوهن شم استفاده کردیم [۶]. در این روش برای حل معادلات تک ذره با در نظر گرفتن کره‌هایی اطراف یونها سلول واحد به دو قسمت تقسیم می‌شود. با انتخاب دو نوع پتانسیل در این دو قسمت توابع پایه به دو شکل متفاوت زیر انتخاب می‌شوند:

$$\Phi_{\vec{k}_n}(\vec{r}) = \begin{cases} \sum_{lm} [A_{lm}(\vec{k}_n) u_l(r, E_1) + B_{lm}(\vec{k}_n) \dot{u}_l(r, E_1)] Y_{lm}(\hat{r}) \\ \Omega^{-1/4} e^{i\vec{k}_n \cdot \vec{r}} \end{cases} \quad (1)$$

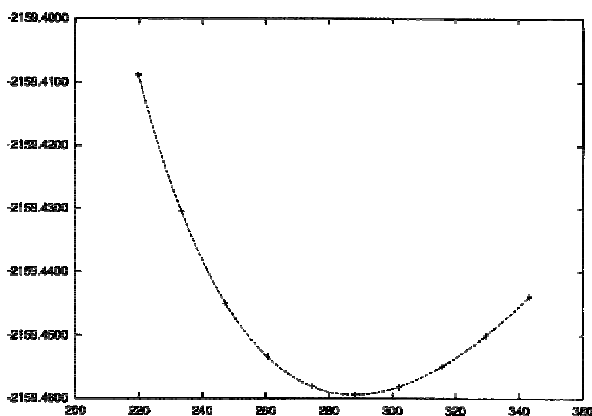
که جمله اول برای درون کره‌ها و جمله دوم برای بسط توابع موج در خارج کره‌های موافقین تین به کار می‌رود:

$$\Psi_i(\vec{r}) = \sum_n \alpha_n \Phi_n(\vec{r}) \quad (2)$$

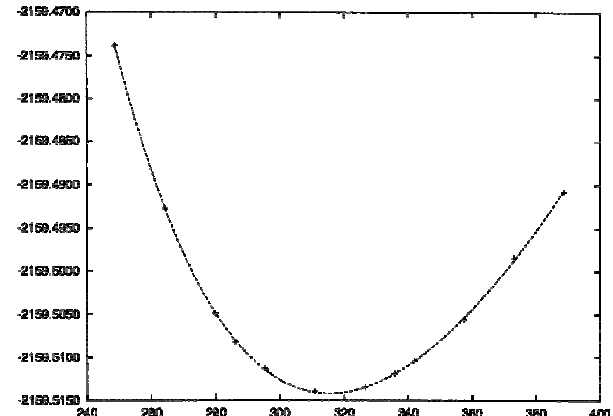
در روابط فوق حجم سلول واحد،  $u_l(r, E_1)$  تابع موج شعاعی،  $\dot{u}_l(r, E_1)$  مشتق  $u_l(r, E_1)$  نسبت به انرژی و  $A_{lm}$  و  $B_{lm}$  ضرایبی هستند که با اعمال شرط پیوستگی تابع موج و مشتق

جدول ۱. پارامترهای ساختاری محاسبه شده در کار حاضر و مقایسه آنها با نتایج دیگران

	FP-LAPW GGA	FP-LAPW LDA	TB-LMTO LDA[۳]	[۱۱]PW-PP	تجربه [۲]
$a_0$ (a.u.) <sub>B1</sub>	۱۰/۸۰۶	۱۰/۵۱۷	۱۰/۰۹۹	۱۰/۲۶۱	۱۰/۷۵۴
$B$ (GPa) <sub>B1</sub>	۵۶/۳۱۲	۶۷/۴۸۶	۷۷/۹۶	۶۳/۸	۶۴/۰
$B'$ (B1)	۳/۸۸۲۵	۴/۰۹۱۳	—	—	—
$a_0$ (a.u.) <sub>B2</sub>	۶/۶۰۳	۶/۴۱۵	—	—	—
$B$ (GPa) <sub>B2</sub>	۵۷/۲۰۰	۶۹/۹۷۶	—	—	—
$B'$ (B2)	۴/۰۲۷۱	۴/۰۴۴۴	—	—	—
$P_T$ (GPa)	۳۸/۵۶	۳۶/۹	۳۷/۱	۴۹/۸	۴۰/۰



(ب)



(الف)

شکل ۱. نمودار انرژی (Ryd) بر حسب حجم (a.u.) (الف) ساختار نمک طعام (ب) ساختار سزیم کلراید با تقریب GGA.

باعث کاهش پارامتر تعادلی شبکه و افزایش استحکام پیوند می‌شود. لذا تراکم پذیری بلور در این حالت کاهش و مدول حجمی افزایش می‌یابد. حال آنکه در تقریب GGA عکس این حالت رخ می‌دهد. بنابراین فشار گذار، فشاری است که در آن انرژی آزاد گیس دو ساختار مساوی باشد، لذا در دمای صفر کلوین خواهیم داشت:

$$G_1|_{B_1} = G_2|_{B_2} \Rightarrow (E_1 + P_T V_1)|_{B_1} = (E_2 + P_T V_2)|_{B_2} \Rightarrow P_T = -\frac{\Delta E}{\Delta V} \quad (4)$$

فشار تغییر فاز با رسم شیب مشترک دو منحنی E-V تعیین و در جدول ۱ درج شده است. همانگونه که دیده می‌شود فشار

مجازی به سیستم وارد می‌شود و بنابرین ثابت شبکه مقداری کوچکتر از تجربه بدست می‌آید، در صورتیکه در تقریب شیب تعیین یافته یک فشار منفی کوچک به سیستم وارد می‌شود و ثابت شبکه کمی بزرگتر از تجربه بدست می‌آید. چنین فشار مجازی در بعضی از ساختارهای دیگر نیز مشاهده شده است [۱۰].

مدول حجمی در تقریب شیب تعیین یافته کوچکتر و در تقریب چگالی موضعی بزرگتر از مقدار تجربی بدست آمده است. این نتیجه را نیز می‌توان به فشارهای مجازی ناشی از دو تقریب GGA و LDA که در بالا اشاره شد مربوط کرد. از آنجایی که مدول حجمی عکس تراکم پذیری است می‌توان چنین استدلال کرد که در تقریب LDA فشار مجازی مثبت

آنچا ناشی می‌شود که در این تقریب از استتار در بر هم‌کنش کولنی صرفنظر شده است. آنیزیمو و گونارسون [۱۲] نشان داده‌اند که نادیده گرفتن استتار در نظریه هارتی فوک باعث دو تا سه برابر شدن گاف انرژی می‌شود. جدول ۲ همچنین نشان می‌دهد که در محاسبات مبتنی بر نظریه تابعی چگالی گاف انرژی حدود ۴۰ الی ۵۰ درصد کمتر از مقدار تجربی است. غالباً منشأ این خطا را به تقریب LDA نسبت می‌دهند لیکن محاسبات ما نشان می‌دهد که حتی با بکار بردن تقریب بهتر GGA نیز بهبود چشمگیری در نتیجه حاصل نمی‌شود. همانطور که مشاهده می‌شود از تقریب LDA به GGA گاف انرژی حدود ۰/۲ بیشتر می‌شود. سهم عمده این افزایش ناشی از بکار LDA پارامتر تعادلی به دست آمده در هر یک از تقریب‌های GGA، برای انجام محاسبات خواص الکترونی است. تقریب LDA پارامتر شبکه را کمتر از مقادیر واقعی نشان می‌دهد به همین دلیل بلور تحت فشار مجازی است و نتیجه آن مقدار کم گاف انرژی است. به این ترتیب به نظر می‌رسد ریشه خطا را باید در خود نظریه تابعی چگالی جستجو کرد. حال به بحث نظری و شیوه رفع این خطا می‌پردازیم:

در نظریه تابعی چگالی برای استخراج معادلات کوهن شم از انرژی نسبت به چگالی با اعمال قید ثابت و صحیح بودن تعداد ذرات وردش می‌گیریم. در سال ۱۹۸۲ پردو و همکارانش [۱۳] با به کار بردن یک دستگاه شامل تعداد ذرات کسری (M) به این نتیجه رسیدند که گاف انرژی واقعی از ناپیوستگی مشتق از رژی حالت پایه دستگاه M الکترونی در عبور از اعداد صحیح به دست می‌آید:

$$E_g = \left\{ \frac{\delta E_v[n]}{\delta n(r)} \Big|_{N+\delta} - \frac{\delta E_v[n]}{\delta n(r)} \Big|_{N-\delta} \right\}_{\delta \rightarrow 0} \quad (5)$$

که در آن N تعداد الکترونهاست. در دستگاه برهمنکشی این ناپیوستگی از دو منبع ناشی می‌شود که یکی ناپیوستگی تابعی انرژی جنبشی و دیگری ناپیوستگی تابعی انرژی تبادلی همبستگی است. حال آنکه در سیستم غیر برهمنکشی کوهن شم، انرژی تبادلی همبستگی پیوسته است و تنها ناپیوستگی انرژی جنبشی غیر صفر باقی می‌ماند. لذا نتیجه می‌شود که [۱۶، ۱۵]:

$$E_g = \Delta_{KS} + \Delta_{xc} \quad (6)$$

گذاری که ما با تقریب GGA محاسبه کرده‌ایم نسبت به روش‌های دیگر به تجربه نزدیکتر است.

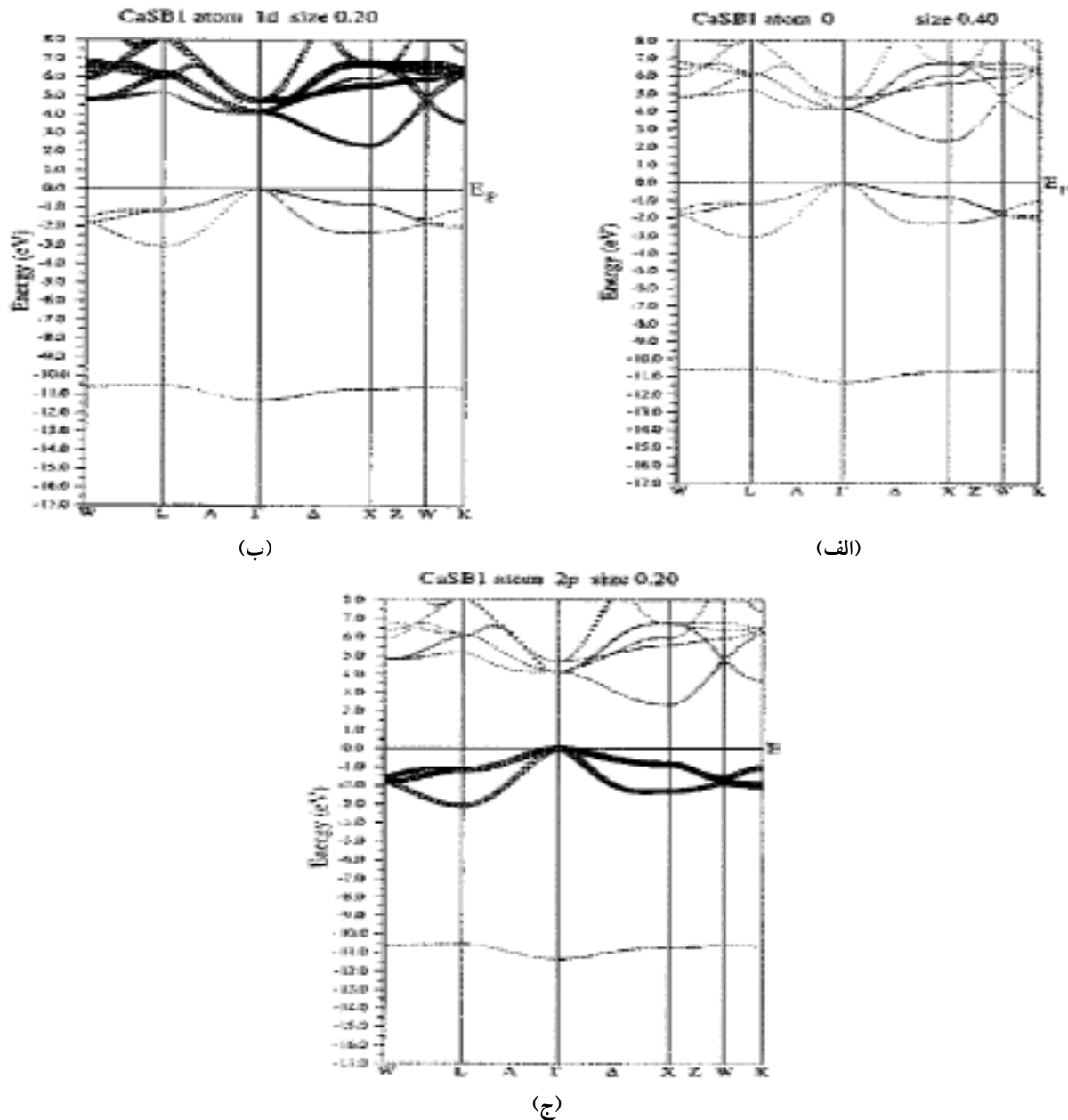
در مجموع می‌توان چنین نتیجه گرفت که در بیشتر موارد روش FP-LAPW با تقریب شیب تعییم یافته در مقایسه با روش‌های شبیه پتانسیل و نیز TB-LMTO به نتایج بهتری منجر می‌شود.

### ۲.۳. خواص الکترونی

نوارهای انرژی بلور در راستاهای تقارنی محاسبه و در شکل ۲-الف نمایش داده شده است. دیده می‌شود که بلور یک نیمه رسانا با گاف انرژی غیر مستقیم از نوع X-Γ است (قله نوار ظرفیت در نقطه تقارنی Γ و ته نوار رسانش در نقطه تقارنی X قرار گرفته است). از آنچا که در روش FP-LAPW توابع موج الکترونیهای والانس در درون کره مافین تین بر حسب اریتالهای اتمی (هارمونیکهای کروی) بسط داده می‌شوند لذا ضرائب بسط سهم این اریتالها را در توابع موج الکترونی بلور مشخص می‌کنند. با رسم نوارهای انرژی همراه با سهم اریتالها (شکل ۲-ب و ۲-ج) مشاهده می‌شود که الکترونیهای اتم Ca در ساختن نوارهای رسانش و الکترونیهای اتم S در ساختن نوارهای ظرفیت بیشترین سهم را دارند. نوارهای رسانش عمدتاً با اریتالهای d اتم Ca و نوارهای بالای طرفیت با اریتالهای p اتم S شکل گرفته است. سهم اریتالهای s اتم S در نوارهای پایین ظرفیت چشمگیر است.

چگالی حالتها برای اریتالهای مختلف اتمهای Ca و S که در شکل ۳ رسم شده‌اند صحت نتایج فوق را تأیید می‌کنند. مشاهده می‌شود که چگالی حالت در نواحی با انرژی پایین (کمتر از ۱۰ eV) با اریتالهای s اتم S و نواحی با انرژی میانی (۰-۵ eV) با اریتالهای p اتم S و ناحیه بالای تراز فرمی با اریتالهای d اتم Ca شکل گرفته اند. در این شکل تراز فرمی با یک خط عمودی مشخص شده است که از انرژی صفر می‌گذرد و نوارهای والانس با گافی حدود ۷/۵ الکترون ولت به دو ناحیه مجزا تقسیم شده‌اند.

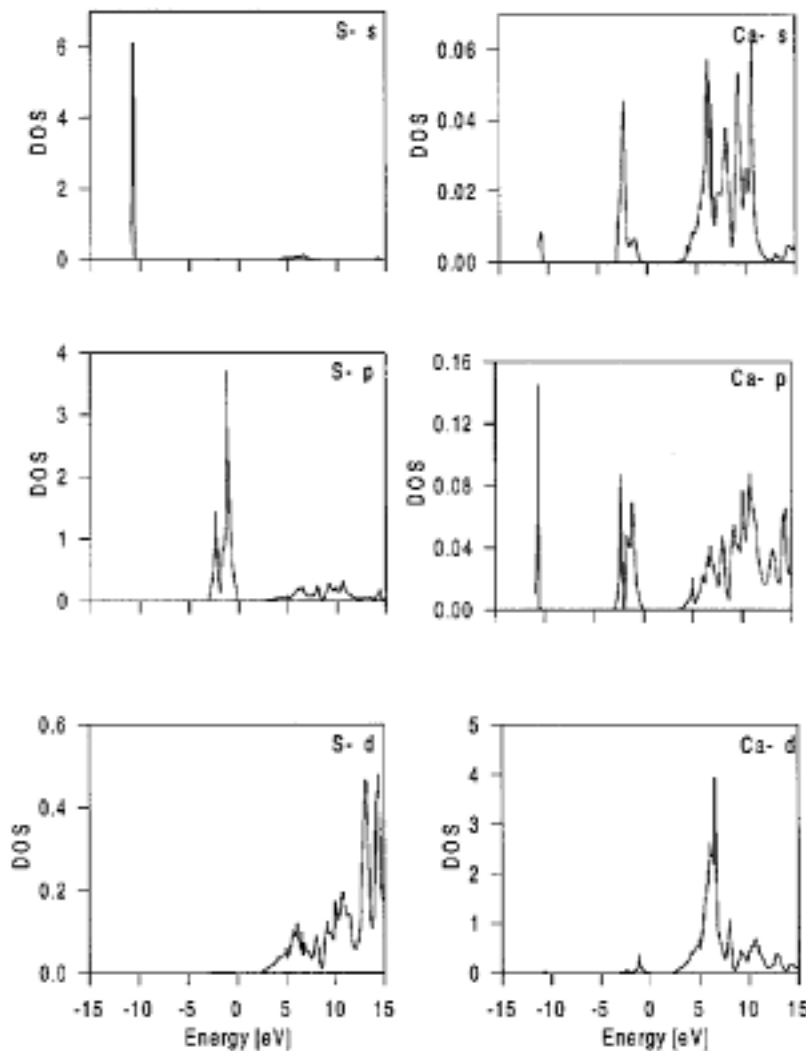
مقدار گاف انرژی محاسبه شده در کار حاضر همراه با نتایج تجربی و نظری دیگران در جدول ۲ ارائه شده است. دیده می‌شود که گاف انرژی محاسبه شده با تقریب هارتی فوک حدود دو برابر مقادیر تجربی است. این تفاوت چشمگیر از



شکل ۲. (الف) نوار انرژی بلور CaS، (ب) نوار انرژی بلور همراه با سهم اربیتالهای d اتم Ca و (ج) نوار انرژی بلور همراه با سهم اربیتالهای p اتم S.

جدول ۲. نتایج حاصل از محاسبه گاف انرژی در کار حاضر و مقایسه با کار دیگران

	FP-LAPW LDA	FP-LAPW GGA	FP-LAPW EV-GGA	TB-LMTO LDA[۳]	LAPW LDA[۴]	هارتی-فوك [۵]	تجربه [۱۴]
نوع گاف	$\Gamma - X$	$\Gamma - X$	$\Gamma - X$	$\Gamma - X$	$\Gamma - X$	$\Gamma - \Gamma$	$\Gamma - X$
گاف انرژی (eV)	۲/۱۸۳۸	۲/۳۹۸۲	۳/۲۰۱۳	۲/۷۶	۲/۱۴۳	۸/۴	۴/۴۳۴
در صد اختلاف با مقدار تجربی	۵۰/۷	۴۵/۹	۲۷/۸	۴۶/۷	۵۱/۶	-	-

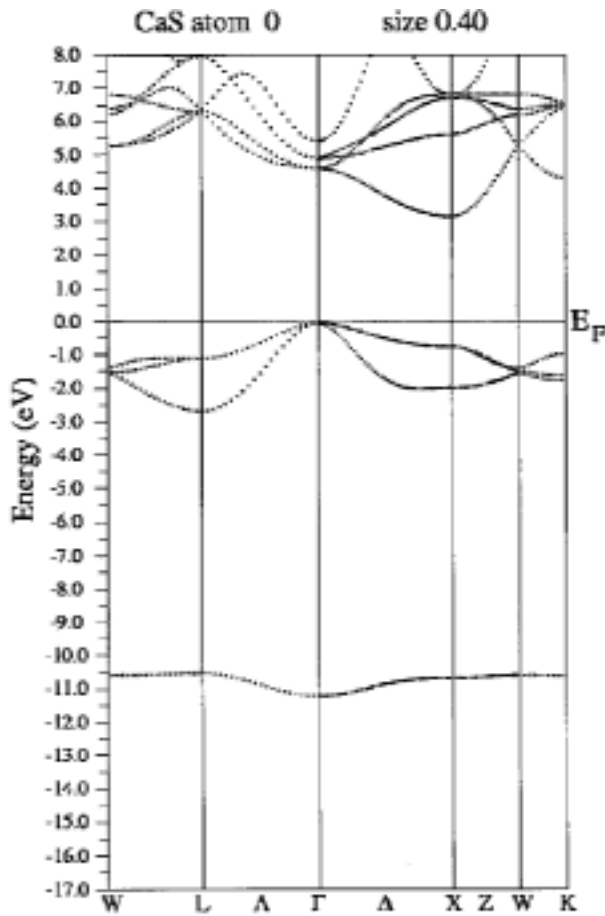


شکل ۳. چگالی حالت‌های اریتال‌های s p و d اتمهای S و Ca.

همبستگی با تقریب محاسبه می‌شود و با مشتق تابعی گرفتن از آن، پتانسیل تبادلی همبستگی به دست می‌آید و پس از پایان مرحله خودسازگاری از این پتانسیل برای به دست آوردن ویژه مقادیر انرژی استفاده می‌شود. لذا چون شکلهای تقریبی انرژی تبادلی همبستگی ناپیوستگی ناشی از عبور از اعداد صحیح را شامل نمی‌شود، پتانسیل تبادلی همبستگی هم به طور صحیح به دست نمی‌آید و در نتیجه ویژه مقادیر انرژی دارای خطای زیادی هستند. حال اگر به نحوی پتانسیل تبادلی همبستگی به طور دقیقتر محاسبه شود و در حل معادلات کوهن شم از آن استفاده شود گاف انرژی تصحیح خواهد شد. به عبارت دیگر جمله  $\Delta_{xc}$  که قبلاً به حساب نمی‌آمد، حال بصورت تقریبی در محاسبات وارد می‌شود. نکته قابل توجه این است که در

که در آن  $\Delta_{KS}$  گاف انرژی محاسبه شده توسط ویژه مقادیر کوهن شم است و  $\Delta_{xc}$  ناپیوستگی انرژی تبادلی همبستگی است که در رهیافت کوهن شم نادیده گرفته می‌شود.

اگر معادلات کوهن شم با تقریب چگالی موضعی حل شود نه تنها ناپیوستگی  $\Delta_{xc}$  نادیده گرفته می‌شود بلکه علاوه بر آن  $\Delta_{KS}$  نیز با تقریب محاسبه می‌شود و ممکن است  $\Delta_{KS}^{LDA}$  که با تقریب چگالی موضعی محاسبه می‌شود مساوی مقدار دقیق گاف کوهن شم،  $\Delta_{KS}$ ، نباشد. استفاده از تقریب دقیقتر شبیه تعیین یافته بجای چگالی موضعی و محاسبه  $\Delta_{KS}$  با این تقریب ( $\Delta_{KS}^{GGA}$ ) تنها خطای دوم را کاهش می‌دهد لیکن نادیده گرفتن  $\Delta_{xc}$  کماکان بعنوان منشاء خطای پا بر جاست. در به کار بردن نظریه تابعی چگالی معمولاً انرژی تبادلی



شکل ۴. نوارهای انرژی به دست آمده برای فاز B1 با استفاده از پتانسیل EV-GGA

حالت شبیه پایدار است و فاز پایدار همان ساختار نمک طعام می‌باشد (شکل ۵). به نظر می‌رسد که اگر شرایط آزمایشگاهی را طوری فراهم کنیم که بلور در حجمی بزرگتر تشکیل شود، امکان به تله افتادن سیستم در حالت شبیه پایدار و تشکیل ساختار بلند روی وجود خواهد داشت لیکن اعمال اندکی فشار باعث می‌شود که سیستم به ساختار پایدار نمک طعام منتقل شود.

نتایج حاصل از محاسبات با تقریب GGA برای خواص ساختاری در جدول (۳) ارائه شده است. لازم به ذکر است که به دلیل اینکه تعداد عملهای تقارنی بلور در این فاز کمتر از دو فاز دیگر است، سرعت محاسبه به طور چشمگیری کاهش می‌یابد.

روشهای قبل (GGA, LDA) انرژی تبادلی همبستگی مناسب به دست می‌آمد ولی پتانسیل تبادلی همبستگی به دلیل عدم وجود ناپیوستگی در انرژی تبادلی همبستگی درست به دست نمی‌آمد. به عبارت دیگر تقریبهای GGA مختلف به طور همزمان نمی‌تواند انرژی و پتانسیل تبادلی همبستگی را به صورت دقیق ارائه کند. انگل و وسکو [۱۷] سعی کردند که به یک پتانسیل تبادلی همبستگی بهینه برستند هر چند ممکن بود که انرژی تبادلی همبستگی خطای زیادی را شامل شود. آنها با به کار بردن روش پتانسیل بهینه برستند هر چند اتم توانستند به یک پتانسیل تبادلی همبستگی (EV-GGA) بهینه برستند و ادعا کردند که با استفاده از این پتانسیل خواص الکترونی سیستم خوب به دست می‌آید. دوفک و همکارانش [۱۸] با به کار بردن این پتانسیل برای چندین بلور به این نتیجه رسیدند که خواص ساختاری خیلی دورتر از واقعیت به دست می‌آید ولی نتایج به دست آمده برای خواص الکترونی بهتر از تقریبهای GGA دیگر است. ما برای بلور CaS در فاز B1 این نوع پتانسیل را به کار بردم و در توافق با نتایج دوفک و همکارانش، پارامتر تعادلی شبکه خیلی بزرگ و مدول حجمی را خیلی کوچک به دست آوردیم. به همین دلیل به کار بردن این پتانسیل در حالت کلی توصیه نمی‌شود. نتیجه به دست آمده برای خواص الکترونی حاکی از آن است که شکل نوارهای انرژی رفتاری مشابه با نتایج قبل را دارد ولی گاف انرژی به تجربه نزدیکتر می‌شود. نتایج محاسبات در جدول ۲ و نمودار نوارهای انرژی به دست آمده از این روش در شکل ۴ درج شده است.

**۳.۳. برورسی امکان وجود فاز سوم (ساختار بلند رودی):** بلور MgS یکی دیگر از سولفیدهای قلیایی خاکی است و خواصی مشابه CaS دارد. برای این بلور فاز سومی با ساختار بلند روی پیشنهاد شده است و با روشهای نظری این فاز پایدار شناخته شده است [۱۴]. به دلیل مشابهت ساختاری دو ترکیب برآن شدیم امکان وجود این فاز را برای بلور CaS نیز بررسی کنیم. به این منظور ابتدا انرژی بلور در این فاز را در چندین حجم محاسبه و با رسم نمودار انرژی بر حسب حجم این فاز، مشاهده کردیم که ساختار پایدار برای این فاز وجود دارد. اگر این نمودار با دو نمودار انرژی بر حسب حجم در دو فاز دیگر مقایسه شود، مشاهده خواهیم کرد که این فاز مربوط به یک

با رسم ساختار نواری این فاز مشاهده شد که نوارهای هدایت با اریتال‌های d اتم کلسیم و نوار ظرفیت با اریتال‌های p اتم S ساخته می‌شود. گاف انرژی غیر مستقیم بین  $\Gamma$  تا K و به مقدار  $E_V = 3/638 \text{ eV}$  بدل است آمد.

با به کار بردن پتانسیل EV-GGA باز هم پارامتر شبکه خیلی بزرگ و مدول حجمی خیلی کوچک به دست آمد، ولی برای گاف انرژی عدد  $4/52$  به دست آمده است که بیشتر از مقدار قبلی است. طبق بحثهای قبل ادعا می‌شود که این مقدار برای گاف انرژی به تجربه نزدیک‌تر است.

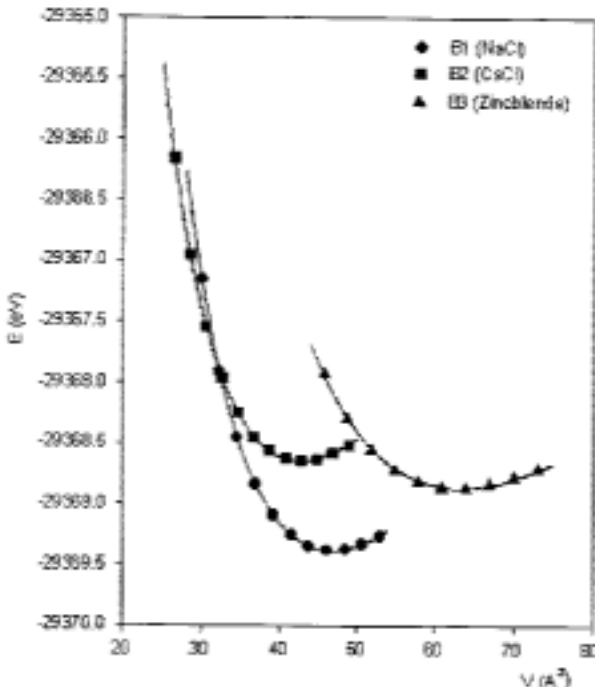
#### ۴. نتیجه‌گیری

نتایج محاسبات خواص ساختاری بلور کلسیم سولفید با استفاده از روش FP-LAPW در تقریب‌های مختلف LDA و GGA برای فازهای مختلف نظیر نمک طعام، کلرید سدیم و بلندروی تطابق خوبی با کارهای تجربی و کارهای دیگران دارد و در مجموع نتایج تقریب GGA بجز در بالک مدول بهتر از LDA است. در مورد نتایج محاسبات خواص الکترونی باید گفت که رفتار نوارهای انرژی و نوع گاف در فازهای مختلف تطابق خوبی با کارهای دیگران دارد ولی در مورد مقدار گاف انرژی این چنین نیست و اختلاف مقادیر به دست آمده از روش‌های مختلف با تجربه زیاد است. با توجه به نتایج به دست آمده تقریب GGA تصحیح زیادی روی گاف انرژی نسبت به تقریب LDA نخواهد داشت. ما در کار حاضر با به کار بردن پتانسیل تبدیلی همبستگی انگل و وسکو نتیجه بهتری برای گاف انرژی به دست آورديم که در مقایسه با کارهای دیگران به تجربه نزدیک‌تر است.

#### قدرتانی

هزینه این پژوهش از محل اعتبارات پژوهشی دانشگاه صنعتی اصفهان تأمین شده است. ضمناً از آقای سعید جلالی اسدآبادی بدلیل مساعدت در انجام این پژوهش قدردانی می‌شود.

3. I B Shameem Banu, G Kalpana, B Palanivel, P Shenbagaraman, M Rajagopalan and Mohammed Yousuf, *Int. J. M. Phy. B***12**, Nos. 16 & 17 (1998) 1709.



شکل ۵. نمودار انرژی برحسب حجم برای فازهای اول و دوم و سوم با تقریب شبیه تعمیم یافته.

جدول ۳. پارامترهای ساختاری محاسبه شده برای فاز سوم (ساختار بلند روی) با به کار بردن تقریب GGA

$a_0$ (a.u.)	B(GPa)	$B'$
۱۱/۹۱۴	۳۹/۱۱۴۸	۳/۶۸۶۱

به دلیل اینکه انتظار داشتیم این فاز در فشارهای پاییتر تشکیل شود لذا ثابت‌های اولیه شبکه را بزرگ‌تر از فاز اول یعنی  $a=b=c=11/6 \text{ a.u.}$  انتخاب کردیم. شعاع کره مافین تین برای Kpoint و S به ترتیب  $2/1$  و  $2/1$  ریدبرگ انتخاب شد. مقادیر  $Rkmax$  و  $Gmax$  به ترتیب  $2500$ ،  $8$  و  $16$  در نظر گرفته شد. از آنجا که هیچگونه داده تجربی و یا نظری برای این فاز ارائه نشده است لذا امکان مقایسه این نتایج با کار دیگران محدود نمی‌باشد و این داده‌ها صرفاً عنوان پیش‌بینی می‌توانند مورد استفاده قرار گیرند.

#### مراجع

1. R P Rao, *J. Mater. Sci.* **5**, No. 21 (1986) 3357.
2. H Lao, R G Greene, K Ghandehari, T Li and A L Ruoff, *Phys. Rev. B***50**, No 22 (1994) 16232.

- جلد سوم، شماره ۳
11. P E Van Camp, V E Van Doren and J L Martins, *Phys. Stat. Sol. B***190** (1995) 193.
  12. V I Anisimov and O Gunnarson, *Phys. Rev. B***43** (1991) 7570.
  13. J P Perdew, R G Parr, R G Levy and M Balduz, *Phys. Rev. Lett.* **49** (1982) 1691.
  14. Y Kaneko, T Koda, *J. Cryst. Growth*, **86** (1988) 72.
  15. L J Sham and M Schluter, *Phys. Rev. Lett.* **51** (1983) 1888.
  16. J P Perdew and M Levy, *Phys. Rev. Lett.* **51** (1983) 1884.
  17. E Engel and S H Vosko, *Phys. Rev. B***47** (1993) 13164.
  18. P Dufek, P Blaha and K Schwarz, *Phys. Rev. B***50** (1994) 7279.
  4. V S Stepanyuk, A Szasz, O V Farberovich, A A Grigorenko, A V Kozlov, V V Mikhailin, *Phys. Stat. Sol. B***155** (1989) 215.
  5. R Pandey, J E Jaffe and A Barry Kunz, *Phys. Rev. B***43**, No. 11 (1991) 5228.
  6. O K Andersen, *Phys. Rev. B***12**, No. 8 (1975) 3060.
  7. J P Perdew and Y Wang, *Phys. Rev. B***45** (1992) 13244.
  8. J P Perdew, S Burke and M Ernzerhof, *Phys. Rev. Lett.* **77** (1996) 3865.
  9. P Blaha, K Schwarz, and J Luitz, WIEN97, A Full Potential Linearized Augmented Plane Wave Package for Calculating Crystal Properties (Karlheinz Schwarz, Techn. Universität Wien, Austria), 1999. ISBN 3-9501031-0-4.
  10. H Akbarzadeh and M R Mohammadizadeh, *Comp. Mater. Sci.* **8** (1997) 335.